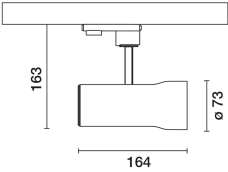


Última actualización de la información: Junio 2025

Configuraciones productos: 148A.01
148A.01: Proyector SIPARIO Ø73 - DALI - WideFlood - OBLens - - 17.2W 1066.5lm - 3000K - CRI 97 - Blanco



Código producto
148A.01: Proyector SIPARIO Ø73 - DALI - WideFlood - OBLens - - 17.2W 1066.5lm - 3000K - CRI 97 - Blanco

Descripción
Proyector orientable Ø73 con adaptador para instalación en base o riel de tensión de red. Lámpara led con tecnología C.o.B (Chip on Board) de alto rendimiento cromático -CRI97- tono 3000K.
Cuerpo de aluminio fundido a presión con tapón trasero y anillo frontal de material termoplástico (Mass-Balance). El producto permite una rotación de 360° alrededor del eje vertical con bloqueo mecánico y una inclinación de 90° con respecto a la superficie horizontal. Disipación pasiva del calor.
Sistema óptico OptiBeam Lens con óptica Wideflood.
Alimentador electrónico regulable DALI-2 integrado en el cuerpo de iluminación.
Proyector con sistema Push&Go diseñado para facilitar y agilizar de manera segura el acoplamiento entre el producto y el accesorio óptico. La desconexión mecánica permite desenganchar el accesorio sin riesgo de que se caiga. Posibilidad de utilizar hasta tres accesorios internos y uno externo al mismo tiempo. Todos los accesorios internos y externos pueden girar 360° respecto al eje longitudinal del proyector.

Instalación
Base o riel de tensión de red.

| | |
|----------------|------------------|
| Colores | Peso (Kg) |
| Blanco (01) | 0.66 |

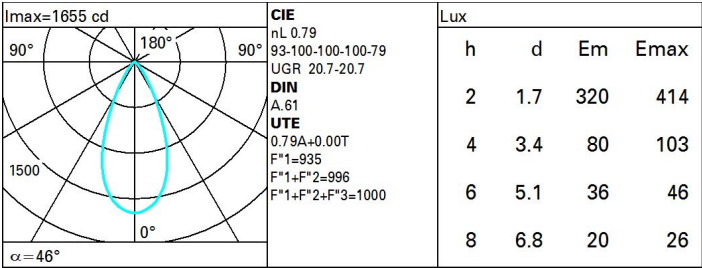
Montaje
riel trifásico

Se conforma con EN60598-1 y regulaciones pertinentes



| Datos técnicos | | | |
|---|------|--------------------------------------|---------------------------------|
| Im de sistema: | 1067 | CRI (mínimo): | 97 |
| W de sistema: | 17.2 | Temperatura de color [K]: | 3000 |
| Im de la fuente: | 1350 | MacAdam Step: | 2 |
| W de la fuente: | 15 | Life time (vida útil) LED 1: | > 50,000h - L90 - B10 (Ta 25°C) |
| Eficiencia luminosa (lm/W, valor del sistema): | 62 | Código de lámpara: | LED |
| Im en modo emergencia: | - | Número de lámparas por grupo óptico: | 1 |
| Flujo total de emisión en un ángulo de 90° o superior [Lm]: | 0 | Código ZVEI: | LED |
| Light Output Ratio (L.O.R.) [%]: | 79 | Número de grupos ópticos: | 1 |
| Ángulo de apertura del haz de luz [°]: | 46° | Control: | DALI-2 |

Polar



Coefficientes de uso

| R | 77 | 75 | 73 | 71 | 55 | 53 | 33 | 00 | DRR |
|------|----|----|----|----|----|----|----|----|-----|
| K0.8 | 69 | 65 | 62 | 60 | 64 | 61 | 61 | 58 | 74 |
| 1.0 | 73 | 69 | 66 | 64 | 68 | 65 | 65 | 62 | 79 |
| 1.5 | 77 | 74 | 72 | 70 | 73 | 71 | 70 | 68 | 86 |
| 2.0 | 80 | 77 | 76 | 74 | 76 | 75 | 74 | 72 | 91 |
| 2.5 | 81 | 80 | 78 | 77 | 78 | 77 | 76 | 74 | 94 |
| 3.0 | 82 | 81 | 80 | 79 | 80 | 79 | 78 | 76 | 96 |
| 4.0 | 83 | 82 | 82 | 81 | 81 | 80 | 79 | 77 | 98 |
| 5.0 | 84 | 83 | 83 | 82 | 82 | 81 | 80 | 78 | 99 |

Curva límite de luminancia

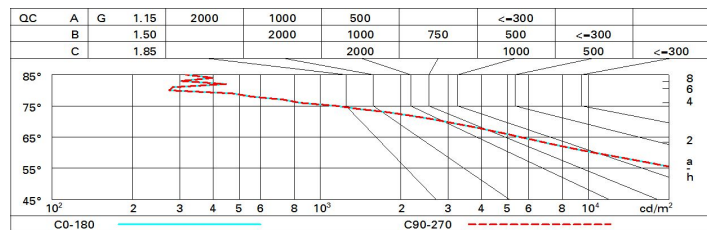


Diagrama UGR

| Corrected UGR values (at 1350 lm bare lamp luminous flux) | | | | | | | | | | | |
|--|-----|---------------------|------|------|------|------|-------------------|------|------|------|------|
| Reflect.: ceiling/cav walls work pl. Room dim x y | | viewed crosswise | | | | | viewed endwise | | | | |
| 2H | 2H | 21.2 | 21.8 | 21.5 | 22.1 | 22.3 | 21.2 | 21.8 | 21.5 | 22.1 | 22.3 |
| | 3H | 21.1 | 21.6 | 21.4 | 21.9 | 22.2 | 21.1 | 21.7 | 21.4 | 21.9 | 22.2 |
| | 4H | 21.0 | 21.5 | 21.3 | 21.8 | 22.1 | 21.0 | 21.6 | 21.4 | 21.8 | 22.1 |
| | 6H | 20.9 | 21.4 | 21.3 | 21.7 | 22.1 | 21.0 | 21.4 | 21.3 | 21.7 | 22.1 |
| | 8H | 20.9 | 21.4 | 21.3 | 21.7 | 22.0 | 20.9 | 21.4 | 21.3 | 21.7 | 22.0 |
| | 12H | 20.9 | 21.3 | 21.2 | 21.6 | 22.0 | 20.9 | 21.3 | 21.3 | 21.7 | 22.0 |
| 4H | 2H | 21.0 | 21.6 | 21.4 | 21.8 | 22.1 | 21.0 | 21.5 | 21.3 | 21.8 | 22.1 |
| | 3H | 20.9 | 21.3 | 21.3 | 21.7 | 22.0 | 20.9 | 21.3 | 21.3 | 21.7 | 22.0 |
| | 4H | 20.8 | 21.2 | 21.2 | 21.6 | 22.0 | 20.8 | 21.2 | 21.2 | 21.6 | 22.0 |
| | 6H | 20.7 | 21.1 | 21.2 | 21.5 | 21.9 | 20.7 | 21.1 | 21.2 | 21.5 | 21.9 |
| | 8H | 20.7 | 21.0 | 21.1 | 21.4 | 21.8 | 20.7 | 21.0 | 21.1 | 21.4 | 21.8 |
| | 12H | 20.6 | 20.9 | 21.1 | 21.3 | 21.8 | 20.6 | 20.9 | 21.1 | 21.3 | 21.8 |
| 8H | 4H | 20.7 | 21.0 | 21.1 | 21.4 | 21.8 | 20.7 | 21.0 | 21.1 | 21.4 | 21.8 |
| | 6H | 20.6 | 20.8 | 21.1 | 21.3 | 21.8 | 20.6 | 20.8 | 21.1 | 21.3 | 21.8 |
| | 8H | 20.5 | 20.8 | 21.0 | 21.2 | 21.7 | 20.5 | 20.8 | 21.0 | 21.2 | 21.7 |
| | 12H | 20.5 | 20.7 | 21.0 | 21.2 | 21.7 | 20.5 | 20.7 | 21.0 | 21.2 | 21.7 |
| 12H | 4H | 20.6 | 20.9 | 21.1 | 21.3 | 21.8 | 20.6 | 20.9 | 21.1 | 21.3 | 21.8 |
| | 6H | 20.5 | 20.8 | 21.0 | 21.2 | 21.7 | 20.5 | 20.8 | 21.0 | 21.2 | 21.7 |
| | 8H | 20.5 | 20.7 | 21.0 | 21.2 | 21.7 | 20.5 | 20.7 | 21.0 | 21.2 | 21.7 |
| Variations with the observer position at spacing: | | | | | | | | | | | |
| S = | | 3.6 / -0.7 | | | | | 3.6 / -0.7 | | | | |
| | | 0.3 / -11.8 | | | | | 0.3 / -11.8 | | | | |
| | | 8.2 / -15.1 | | | | | 8.2 / -15.1 | | | | |